

## 3중 오류정정 BCH부호의 병렬복호기 구현에 관한연구

\* 김 장 수

이 만 영

한양대학교 대학원

전자통신공학과

( An Implementation of parallel Decoder for TEC-BCH Codes )

Chang Soo Kim

Man Young Rhee

Hanyang

University

\* ABSTRACT \*

Some efficient methods for solving the equations over  $GF(2^m)$  are proposed in this paper. Using these algorithms, parallel decoder for a triple-error-correcting(31, 16) BCH code is implemented. By incorporating with ROM and PAL which are inserted in a decoder, the complex logic circuits can be substantially reduced and therefore a high speed decoder can be constructed.

1. 서 론

블럭부호중에서 BCH 부호는 1959년에 Hocquenghem과 1960년에 Bose와 Chaudhuri에 의하여 독자적으로 발표된 부호로써 블럭부호중 강력한 오류정정능력을 갖는 순회부호의 일종이다. Computer를 예로들면 현재 SEC/DEC 부호는 Computer의 주기억장치에 널리 사용 되어지고 있다. 본 논문에서는 Polkinghorn[4]의 복호방법과 Yamagish[5]복호기를 개선하여 3중 오류정정 (31,16)BCH 부호의 병렬 복호기를 만드는 새로운 방법을 제시하여 장치화 하였다. 이 복호기는 병렬로 처리되므로 Computer의 주/보조 기억장치에 사용되어질 수 있다. 특히 복호기에 ROM을 사용하여 복잡한 회로를 간소화하였고, 기존의 연산회로도 역시 간소화하였다. 앞으로 소자상의 지연을 더욱 줄이기 위하여 하나의 LSI칩으로 설계하여 장치화하면 더욱 고속의 복호기를 얻을 수 있을 것이다.

2.  $GF(2^m)$ 상의 3차 방정식의 해를 구하는 방법

본 논문에서는 오류위치다항식에서 오류위치를 구하기 위하여 Polkinghorn의 방법을 기초로 하였다. 3차 방정식의 경우 Polkinghorn의 방법을 설명하면 다음과 같다.

$$x^3 + \sigma_{31}x^2 + \sigma_{32}x + \sigma_{33} = 0 \quad \dots\dots\dots(1)$$

이므로 여기서  $x = y + \sigma_{31}$ 로 치환하면

$$y^3 + \lambda y + \delta = 0 \quad \dots\dots\dots(2)$$

$$(\lambda = \sigma_{31}^2 + \sigma_{32}, \delta = \sigma_{31}\sigma_{32} + \sigma_{33})$$

$y = \lambda^{1/2} \cdot z$ 로 치환하면

$$z^3 + z + c_k = 0, \quad (c_k = \delta/\lambda^{3/2}) \quad \dots\dots\dots(3)$$

이다. 식(3)의 근들은  $c_k$  값에 의하여 결정된다. 그러면 식(1)의 방정식 근들은

$$x_i = \lambda^{1/2} \cdot z_i + \sigma_{31}, \quad (i=1, 2, 3) \quad \dots\dots\dots(4)$$

이다.

3.  $GF(2^m)$ 상의 각종 회로 구성

$GF(2^m)$ 상의  $\alpha$ 를 원시원소(primitive element)라 하면 모든 non-zero원소는  $GF(2^m)$ 상의 지수표현(exponential expression)이라는  $\alpha$ 의 멱(power)으로 표시된다. 한편  $2^m$ 개 원소는 차수가  $m-1$ 인  $GF(2)$ 상의 modulo- $p(x)$ 의 다항식으로 표현되어질 수 있고, 그 다항식의 계수들만으로 표현하면 벡터표현 이라고 한다. 예를 들어  $GF(2^5)$ 상의 원시다항식

$$p(\alpha) = 1 + \alpha^2 + \alpha^5 = 0 \text{ 일때}$$

$$\alpha^{16} = 1 + \alpha + \alpha^3 + \alpha^4 = (1 \ 1 \ 0 \ 1 \ 1) = (0 \ 0 \ 0 \ 0 \ 1)$$

다항식표현	벡터표현	지수표현
-------	------	------

Galois Field에서는 곱셈과 나눗셈의 계산회로는 복잡하므로 계산수행을 효율적으로 처리하기 위하여 nonzero원소  $\alpha$ 의 멱(power), 즉 지수표현으로 계산한다. 그러면 원소들 간의 곱셈과 나눗셈은 원소  $\alpha$ 의 멱을 덧셈과 뺄셈하는 형태로 간단히 처리된다.

단 zero원소와  $\alpha^0$  원소를 구별하기 위하여  $\alpha^0$  원소는 m비트로 표현되는 지수표현중 가장높은 값으로 바뀌어야한다.

3-1. 곱셈 회로

원소들 간에 곱셈을 수행하기 위한 곱셈회로는 modulo  $2^m-1$ 의 덧셈형태로 된다. 이 회로에 대한 blockdiagram과 symbol이 그림.1에 나타나 있다.

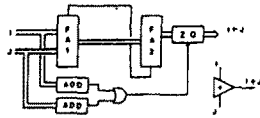


그림.1 곱셈 회로

그림.1에서 FA는 m-bits로된 전가산기이다. modulo  $2^m-1$ 을 수행하기 위하여 FA1의 합과 carry가 FA2에서 더해진다. ADD는 입력원소들이 zero원소 인지 감지 하는 회로이며 ZD는 ADD에서 zero원소가 감지되었을때 출력을 zero원소로 보내는 회로이다.

3-2. 나눗셈 회로

원소들 간에 나눗셈을 수행하기 위한 나눗셈회로는 지수표현의 분자를 분모로 뺄셈하는 과정이다. 이 회로의 block diagram과 symbol은 그림.2에 나타나 있다.

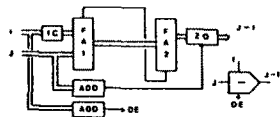


그림.2 나눗셈 회로

여기서 IC는 1의 보수를 취하는 회로이다. DE는 분모가 zero원소일때 불능이므로 이것을 감지하는 회로이다.

3-3. 덧셈 회로

원소들간 덧셈을 수행하는 과정은 다음과 같다.

$$\alpha^i + \alpha^j = \alpha^i \cdot (1 + \alpha^{j-i}) \quad \dots \dots \dots (5)$$

여기서  $j-i=k$  이라하면,  $1 + \alpha^k = \alpha^k$ 로 놓을수 있다.

$$\alpha^i + \alpha^j = \alpha^i \cdot \alpha^k \quad \dots \dots \dots (6)$$

로 되어서 덧셈이 곱셈형태로 바뀌게된다. 덧셈을 수행하는 회로는 그림.3과 같다

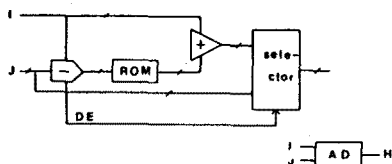


그림.3 덧셈 회로

4. 3중 오류정정 (31,16)BCH 부호의 병렬복호

4-1. 오증 계산

부호어  $\bar{c}$ 를 전송했을때 오류형태  $\bar{e}$ 로 인해 수신어  $\bar{r}$ 는 다음과 같다.

$$\bar{r} = \bar{c} + \bar{e} \quad \dots \dots \dots (7)$$

식(7)의 수신어  $\bar{r}$ 로부터 오증  $\bar{S}$ 를 계산하는 것인데 본 논문에서는 3중 오류정정 BCH 부호이므로 오증  $\bar{S}$ 은

$$\bar{S} = (s_1, s_3, s_5) = \bar{r} \cdot \bar{H}^T \quad \dots \dots \dots (8)$$

이 된다. 식(8)로부터  $GF(2^5)$ 상의 검사행렬  $\bar{H}$ 은

$$\bar{H} = \begin{bmatrix} \alpha^0 & \alpha^1 & \alpha^2 & \alpha^3 & \alpha^4 & \alpha^5 & \alpha^6 & \alpha^7 & \alpha^8 & \alpha^9 & \alpha^{10} & \alpha^{11} & \alpha^{12} & \alpha^{13} \\ \alpha^0 & \alpha^3 & \alpha^6 & \alpha^9 & \alpha^{12} & \alpha^{15} & \alpha^{18} & \alpha^{21} & \alpha^{24} & \alpha^{27} & \alpha^{30} & \alpha^2 & \alpha^5 & \alpha^8 \\ \alpha^0 & \alpha^5 & \alpha^{10} & \alpha^{15} & \alpha^{20} & \alpha^{25} & \alpha^{30} & \alpha^4 & \alpha^9 & \alpha^{14} & \alpha^{19} & \alpha^{24} & \alpha^{29} & \alpha^3 \\ \alpha^6 & \alpha^9 & \alpha^{12} & \alpha^{15} & \alpha^{18} & \alpha^{21} & \alpha^{24} & \alpha^{27} & \alpha^{30} & \alpha^1 & \alpha^4 & \alpha^7 & \alpha^{10} & \alpha^{13} \\ \alpha^8 & \alpha^{13} & \alpha^{18} & \alpha^{23} & \alpha^{28} & \alpha^2 & \alpha^7 & \alpha^{12} & \alpha^{17} & \alpha^{22} & \alpha^{27} & \alpha^1 & \alpha^4 & \alpha^7 \\ \alpha^2 & \alpha^5 & \alpha^8 & \alpha^{11} & \alpha^{14} & \alpha^{17} & \alpha^{20} & \alpha^{23} & \alpha^{26} & \alpha^3 & \alpha^6 & \alpha^9 & \alpha^{12} & \alpha^{15} \\ \alpha^4 & \alpha^7 & \alpha^{10} & \alpha^{13} & \alpha^{16} & \alpha^{19} & \alpha^{22} & \alpha^{25} & \alpha^{28} & \alpha^5 & \alpha^8 & \alpha^{11} & \alpha^{14} & \alpha^{17} \\ \alpha^1 & \alpha^4 & \alpha^7 & \alpha^{10} & \alpha^{13} & \alpha^{16} & \alpha^{19} & \alpha^{22} & \alpha^{25} & \alpha^2 & \alpha^5 & \alpha^8 & \alpha^{11} & \alpha^{14} \end{bmatrix} \quad \dots \dots \dots (9)$$

이다. 식(8)에서 오증  $\bar{S}$ 는 수신어  $\bar{r}$ 로부터 구해진다. 오증  $\bar{S}$ 에 대한 설계는 그림.4과 같다.

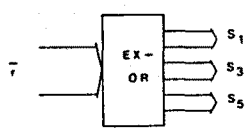


그림.4 3중 오류 정정 BCH 부호의 오증 회로

4-2. 오류 위치 다항식

오증  $\bar{S}$ 로부터 오류위치들을 알아내기 위하여 오류위치다항식 [1]-[3]을 구해야 된다. 오류위치다항식의 계수는

$$\begin{bmatrix} s_1 & s_{1+1} & \dots & s_{1+v-1} \\ s_{1+1} & s_{1+2} & \dots & s_{1+v} \\ \dots & \dots & \dots & \dots \\ s_{1+v-1} & \dots & s_{1+2v-2} & \dots \end{bmatrix} \begin{bmatrix} \sigma_{1+v-1} \\ \sigma_{1+v-2} \\ \dots \\ \sigma_1 \end{bmatrix} = \begin{bmatrix} -s_{1+v} \\ -s_{1+v+1} \\ \dots \\ -s_{1+2v-1} \end{bmatrix} \quad \dots \dots \dots (10)$$

이다. 식(10)에서  $l=1$ 일때 3중 오류정정 BCH부호의 오류 위치다항식의 계수는

$$\begin{bmatrix} s_1 & s_2 & s_3 \\ s_2 & s_3 & s_4 \\ s_3 & s_4 & s_5 \end{bmatrix} \begin{bmatrix} \sigma_{33} \\ \sigma_{32} \\ \sigma_{31} \end{bmatrix} = \begin{bmatrix} -s_4 \\ -s_5 \\ -s_6 \end{bmatrix} \dots\dots\dots (11)$$

$$\begin{bmatrix} \sigma_{33} \\ \sigma_{32} \\ \sigma_{31} \end{bmatrix} = \begin{bmatrix} s_1 & s_2 & s_3 \\ s_2 & s_3 & s_4 \\ s_3 & s_4 & s_5 \end{bmatrix}^{-1} \begin{bmatrix} -s_4 \\ -s_5 \\ -s_6 \end{bmatrix}$$

$$\begin{aligned} \sigma_{31} &= s_1 \\ \sigma_{32} &= (s_1^2 \cdot s_3 + s_5) / (s_1^3 + s_3) \\ \sigma_{33} &= s_1^3 + s_3 + s_1(s_1^2 s_3 + s_5) / (s_1^3 + s_3) \end{aligned}$$

이다. 식(11)으로부터 오류위치다항식을 표시하면

$$x^3 + \sigma_{31}x^2 + \sigma_{32}x + \sigma_{33} = 0 \dots\dots\dots (12)$$

이 된다. 2장의 해를 구하기위한 절차와 식(12)을 토대로 3차방정식의 해를 구한다.

4-3. 3중 오류정정 (31,16)BCH 부호의 병렬복호기

3중 오류정정 (31,16)BCH 부호의 병렬복호기를 설계하면 그림.5와 같다. 그림.5에서 ROM-E와 ROM-V사이에서는 지수 형태로 수행되고 그 밖에서는 벡터형태로 계산이 수행된다. DE가 1일때는 switch D는 위로 올라가고 오류가 발생하지 않았을때와 1개 발생하였을때를 나타낸다. DE가 0일때는 switch D는 아래로 내려오며 2중오류나 3중오류가 발생함을 나타낸다.

그림.6는  $c(x)=0$ 을 전송하여  $r(x)=1+x+x^2$  을 수신하였을때 오증과 오류위치를 나타내었다

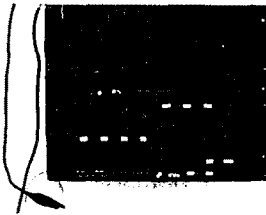


그림.6  $c(x)=0, r(x)=1+x+x^2$  일때 오증과 오류위치

6. 결론

본 논문에서는 새로운 복호알고리즘을 이용하여 3중 오류정정 BCH부호의 병렬 복호이론을 설명하고 (31,16)BCH부호의 병렬복호기를 설계하여 장치화하였다.

복호기에 ROM과 PAL을 사용하여 hardware양을 감소시켰으며 또 연산회로를 간소화 하였으며, 부호장이 변함에 따라 복호지연이 일정한 잇점이 있다.

이 복호기의 소자의 지연을 더욱 감소시켜서 고속의 system을 만들려면 LSI로 집화하면 원하는 system을 얻을 수 있다.

참고 문헌

1. 이 만 영, 부호이론, 희중당, 서울, 1984.
2. S.Lin and D.J.Costello, Error Coding fundamentals and applications, Prentice-Hall, Englewood Cliffs, N. J, 1983.
3. R.E.Blahut, Theory and Practice of Error Control Codes, Addison-wesley Publishing Co., Reading, MA, 1983.
4. F.Polkingshorn, "Decoding of double and triple error correcting Bose-Chaudhuri code," IEEE Trans. Inform. Theory, vol. IT-12, pp. 480-481, Oct. 1966.
5. A.Yamagishi and H. Imai, "A construction method for - decoders of BCH codes using ROM's," Trans. IECE Japan, vol. J63-D, pp.1034-1041, Dec. 1980.
6. M.Y.Hsiao, "A class of optimal minimum odd-weight-column SEC-DED codes," IBM J.Res.Develop., July. 1970.

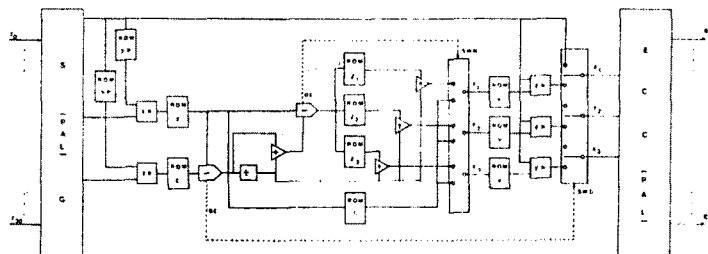


그림. 5 3중 오류정정 (31,16)BCH 부호의 병렬 복호기